

**Escola Politécnica - Universidade de São Paulo**  
**PMR3401 - Mecânica Computacional para Mecatrônica**  
**2020**

**Exercício Programa 1**  
**Métodos de Runge-Kutta**



Diego Jun Sato Kurashima - 10274231  
Felipe Gomes de Melo D'Elia - 10340624

São Paulo , 30 de Março de 2020

<b>1. Equacionamento matemático</b>	<b>3</b>
<b>1.1. Modelo físico</b>	<b>3</b>
<b>1.2. Método de Euler</b>	<b>4</b>
Equacionamento	4
Implementação no MATLAB	4
<b>1.3. Método de Runge-Kutta 2ª ordem</b>	<b>5</b>
Solução Analítica	5
Implementação Numérica no MATLAB	5
<b>1.4. Método de Runge-Kutta 4ª ordem</b>	<b>6</b>
Solução Analítica:	6
Implementação Numérica no MATLAB	7
<b>2. Questão 1</b>	<b>7</b>
<b>2.1. Item a) - Método de Euler</b>	<b>8</b>
Discussão	9
<b>2.2. Item b) - Método de Runge-Kutta de 2ª ordem</b>	<b>10</b>
Discussão	12
<b>2.3. Item c) - Método de Runge-Kutta de 4ª ordem</b>	<b>12</b>
Discussão	14
<b>2.4. Conclusões</b>	<b>14</b>
<b>3. Questão 2</b>	<b>15</b>
<b>3.1. Item a) - <math>m_2=1000</math> kg</b>	<b>15</b>
Discussão	15
<b>3.2. Item b) - <math>m_2=200</math> kg</b>	<b>16</b>
Discussão	16
<b>3.3. Item c) - <math>vel=120</math> km/h</b>	<b>17</b>
Discussão	17
<b>3.4. Item d) - Tração dianteira</b>	<b>18</b>
Discussão	18
<b>3.5. Conclusões</b>	<b>18</b>

# 1. Equacionamento matemático

## 1.1. Modelo físico

O modelo dinâmico do modelo a ser analisado foi apresentado no enunciado conforme a Figura 1 a seguir :

$$\begin{aligned}
 A_0 \ddot{\theta}_1 &= A_1 \dot{\theta}_1^2 + A_2 \dot{\theta}_2^2 + A_3 \dot{\theta}_1 + A_4 \dot{\theta}_2 + A_5 \\
 A_0 &= L_1^2 \cdot L_2 \cdot R \cdot [m_2 \cdot \cos(2\theta_1 - 2\theta_2) - 2m_1 - m_2] \\
 A_1 &= L_1^2 \cdot L_2 \cdot R \cdot m_2 \cdot \sin(2\theta_1 - 2\theta_2) \\
 A_2 &= 2L_1 \cdot L_2^2 \cdot R \cdot m_2 \cdot \sin(\theta_1 - \theta_2) \\
 A_3 &= -2L_2 \cdot \mu I_z \cdot Vel \\
 A_4 &= -2L_1 \cdot \mu I_z \cdot Vel \cdot \cos(\theta_1 - \theta_2) \\
 A_5 &= -RL_1 \left[ L_{2\text{eixo}} F_2 \sin(\theta_1 - 2\theta_2) + 2\sin(\theta_1) \left( F_1 L_2 + \frac{L_{2\text{eixo}} F_2}{2} \right) \right] \\
 B_0 \ddot{\theta}_2 &= B_1 \dot{\theta}_1^2 + B_2 \dot{\theta}_1^2 + B_3 \dot{\theta}_2 + B_4 \\
 B_0 &= L_2^2 \cdot R \cdot m_2 \\
 B_1 &= -L_1 \cdot L_2 \cdot R \cdot m_2 \cdot \cos(\theta_1 - \theta_2) \\
 B_2 &= L_1 \cdot L_2 \cdot R \cdot m_2 \cdot \sin(\theta_1 - \theta_2) \\
 B_3 &= -\mu I_z \cdot Vel \\
 B_4 &= L_{2\text{eixo}} \sin(\theta_2) \cdot R \cdot F_2 \\
 L_1 &= 2 \text{ m}; \quad L_2 = 2,5 \text{ m}; \quad L_{2\text{eixo}} = 1,8 \text{ m}; \\
 m_1 &= 450 \text{ kg}; \quad m_2 = 650 \text{ kg}; \\
 F_1 &= -0,5 \cdot m_1 \cdot g \text{ N}; \quad F_2 = -0,5 \cdot m_2 \cdot g \text{ N} \\
 \mu I_z &= 2,7 \text{ kg} \cdot \text{m}^2; \quad R = 0,3 \text{ m}; \quad g = 9,81 \frac{\text{m}}{\text{s}^2}; \quad \dot{x}_d = Vel = 80 \text{ km/h},
 \end{aligned}$$

Figura 1 - Modelo dinâmico do veículo

O modelo é uma equação diferencial ordinária (EDO) de segunda ordem que representa a dinâmica do veículo.

Para resolução do problema foi usado o ambiente MATLAB. O equacionamento foi implementado por meio de uma function veículo.m ou e também por meio de uma função anônima, conforme Figuras 2 e 3:

```

% A0 = ((L1^2)*L2*R*(m2*cos(2*y(1) - 2*y(3)) - 2*m1 - m2));
% A1 = ((L1^2)*L2*R*m2*sin(2*y(1) - 2*y(3)));
% A2 = (2*L1*(L2^2)*R*m2*sin(y(1)-y(3)));
% A3 = (-2*L2*uIz*velld);
% A4 = (-2*L1*uIz*velld*cos(y(1) - y(3)));
% A5 = (-R*L1*( L2eixo*F2*sin(y(1) - 2*y(3)) + 2*sin(y(1))*( F1*L2 + (1/2)*L2eixo*F2)));

% B0 = ((L2^2)*R*m2);
% B1 = (-L1*L2*R*m2*cos(y(1) - y(3)));
% B2 = (L1*L2*R*m2*sin(y(1) - y(3)));
% B3 = (-uIz*velld);
% B4 = (L2eixo*sin(y(3))*R*F2);

% f = @(t,y) [ y(2);
%             (1/A0)*( A1*(y(2)^2) + A2*(y(4)^2) + A3*y(2) + A4*y(4) + A5);
%             y(4);
%             (1/B0)*( B1*((1/A0)*( A1*(y(2)^2) + A2*(y(4)^2) + A3*y(2) ...
%             + A4*y(4) + A5)) + B2*(y(2)^2) + B3*y(4) + B4 )];

f = @(t,y) [y(2,:);
(1./((L1.^2).*L2.*R.*(m2.*cos(2.*y(1,:) - 2.*y(3,:)) - 2.*m1 - m2)))...
.*( ((L1.^2).*L2.*R.*m2.*sin(2.*y(1,:) - 2.*y(3,:))).*(y(2,:).^2) ...
+ (2.*L1.*(L2.^2).*R.*m2.*sin(y(1,:)-y(3,:))).*(y(4,:).^2) ...
+ (-2.*L2.*uIz.*velld).*(y(2,:)) ...
+ (-2.*L1.*uIz.*velld.*cos(y(1) - y(3,:))).*(y(4,:)) ...
+ (-R.*L1.*( L2eixo.*F2.*sin(y(1,:) - 2.*y(3,:)) ...
+ 2.*sin(y(1,:)).*( F1.*L2 + (1/2).*L2eixo.*F2))));
y(4,:);
(1./((L2.^2).*R.*m2)).*( (-L1.*L2.*R.*m2.*cos(y(1,:) - y(3,:)) )...
.*( (1./((L1.^2).*L2.*R.*(m2.*cos(2.*y(1,:) - 2.*y(3,:)) - 2.*m1 - m2)))...
.*( ((L1.^2).*L2.*R.*m2.*sin(2.*y(1,:) - 2.*y(3,:))).*(y(2,:).^2) ...
+ (2.*L1.*(L2.^2).*R.*m2.*sin(y(1,:)-y(3,:))).*(y(4,:).^2) ...
+ (-2.*L2.*uIz.*velld).*(y(2,:)) ...
+ (-2.*L1.*uIz.*velld.*cos(y(1) - y(3,:))).*(y(4,:)) ...
+ (-R.*L1.*( L2eixo.*F2.*sin(y(1,:) - 2.*y(3,:)) ...
+ 2.*sin(y(1,:)).*( F1.*L2 + (1/2).*L2eixo.*F2))))) ...
+ (L1.*L2.*R.*m2.*sin(y(1,:) - y(3,:))).*(y(2,:).^2) ...
+ (-uIz.*velld).*(y(4,:)) + (L2eixo.*sin(y(3,:))).*(R.*F2)];

```

Figura 2 : Função anônima do modelo do veículo.

```

function [f] = veiculo(L1, L2, L2eixo, m1, m2, uIz, R, g, veld, F1, F2)
% Variáveis de Estado:
% thetal = y(1)
% thetal' = y(2)
% theta2 = y(3)
% theta2' = y(4)
f = @(t,y) [ y(2,:);
    (1./((L1.^2).*L2.*R.*(m2.*cos(2.*y(1,:)-2.*y(3,:))-2.*m1-m2)))...
    .*((L1.^2).*L2.*R.*m2.*sin(2.*y(1,:)-2.*y(3,:))).*(y(2,:).^2)...
    + (2.*L1.*(L2.^2).*R.*m2.*sin(y(1,:)-y(3,:))).*(y(4,:).^2)...
    + (-2.*L2.*uIz.*veld).*y(2,:)+(-2.*L1.*uIz.*veld.*cos(y(1)-y(3,:))).*y(4,:)...
    + (-R.*L1.*(L2eixo.*F2.*sin(y(1,:)-2.*y(3,:))+2.*sin(y(1,:))).*(F1.*L2+(1/2).*L2eixo.*F2)))]);
    y(4,:);
    (1./((L2.^2).*R.*m2)).*(-L1.*L2.*R.*m2.*cos(y(1,:)-y(3,:)))...
    .*((1./((L1.^2).*L2.*R.*(m2.*cos(2.*y(1,:)-2.*y(3,:))-2.*m1-m2)))...
    .*((L1.^2).*L2.*R.*m2.*sin(2.*y(1,:)-2.*y(3,:))).*(y(2,:).^2)...
    + (2.*L1.*(L2.^2).*R.*m2.*sin(y(1,:)-y(3,:))).*(y(4,:).^2)...
    + (-2.*L2.*uIz.*veld).*y(2,:)+(-2.*L1.*uIz.*veld.*cos(y(1)-y(3,:))).*y(4,:)...
    + (-R.*L1.*(L2eixo.*F2.*sin(y(1,:)-2.*y(3,:))).*(F1.*L2+(1/2).*L2eixo.*F2)))]);
    + (L1.*L2.*R.*m2.*sin(y(1,:)-y(3,:))).*(y(2,:).^2)...
    + (-uIz.*veld).*y(4,:)+(L2eixo.*sin(y(3,:))).*R.*F2) ];
end

```

Figura 3 : function veiculo.m

## 1.2. Método de Euler

### Equacionamento

$$y_{n+1} = y_n + hf(t_n, y_n)$$

### Implementação no MATLAB

```

%% Método de Euler
function [X, Y] = euler_method(f,h,yi,xi,xf)
% f : função do tipo y' = f(x, y)
% h : passo
% yi, xi : condições iniciais
% xf : condição de parada

i = 1;
y(:,i) = yi;
x(:,i) = xi;
steps = (xf-xi)/h;

% Laço Principal do Método de Euler
for i=1:steps
    y(:,i+1) = y(:,i) + h*f(x(:,i),y(:,i));
    x(:,i+1) = x(:,i) + h;
end
Y = y;
X = x;
end

```

Figura : function euler\_method.m que implementa o Método de Euler

### 1.3. Método de Runge-Kutta 2ª ordem

#### Solução Analítica

$$y_{i+1} = y_i + hk_2$$
$$k_1 = f(x_i, y_i)$$
$$k_2 = f\left(x_i + \frac{1}{2}h, y_i + \frac{1}{2}hk_1\right)$$

#### Implementação Numérica no MATLAB

```
%% Método de Runge-Kutta de 2 ordem
function [X, Y] = runge_kutta_2(f,h,yi,xi,xf)
% f : função do tipo y' = f(x, y)
% h : passo
% yi, xi : condições iniciais
% xf : condição de parada
i = 1;
Y(:,i) = yi;
X(:,i) = xi;
steps = (xf-xi)/h;

% Laço Principal
for i=1:steps
    k1 = f(X(:,i),Y(:,i));
    k2 = f(X(:,i) + h*(1/2), Y(:,i) + h*k1*(1/2));
    Y(:,i+1) = Y(:,i) + h*k2;
    X(:,i+1) = X(:,i) + h;
end
Y = Y;
X = X;
end
```

Figura : function runge\_kutta\_2.m que implementa o Método de RK2.



#### 1.4. Método de Runge-Kutta 4ª ordem

Solução Analítica:

$$y_{n+1} = y_n + \frac{h}{6} (k_1 + 2k_2 + 2k_3 + k_4)$$

$$t_{n+1} = t_n + h$$

$$k_1 = f(t_n, y_n)$$

$$k_2 = f\left(t_n + \frac{h}{2}, y_n + \frac{h}{2}k_1\right)$$

$$k_3 = f\left(t_n + \frac{h}{2}, y_n + \frac{h}{2}k_2\right)$$

$$k_4 = f(t_n + h, y_n + hk_3)$$

#### Implementação Numérica no MATLAB

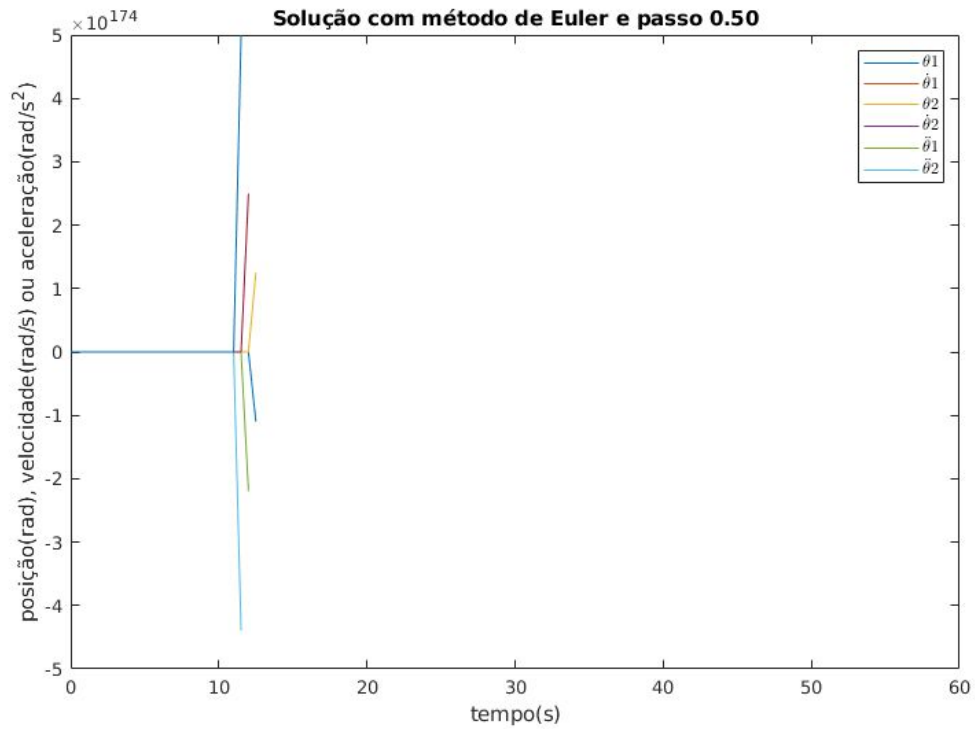
```
% Método de Runge-Kutta de 4 ordem
function [X, Y] = runge_kutta_4(f,h,yi,xi,xf)
% f : função do tipo y' = f(x, y)
% h : passo
% yi, xi : condições iniciais
% xf : condição de parada
i = 1;
Y(:,i) = yi;
X(:,i) = xi;
steps = (xf-xi)/h;
% Laço Principal
for i=1:steps
    k1 = f(X(:,i),Y(:,i));
    k2 = f(X(:,i) + h*(1/2), Y(:,i) + h*k1*(1/2) );
    k3 = f(X(:,i) + h*(1/2), Y(:,i) + h*k2*(1/2) );
    k4 = f(X(:,i) + h, Y(:,i) + h*k3 );
    Y(:,i+1) = Y(:,i) + (h/6)*(k1 + 2*k2 + 2*k3 + k4);
    X(:,i+1) = X(:,i) + h;
end
Y = Y;
X = X;
end
```

Figura : function runge\_kutta\_4.m que implementa o Método de RK4.

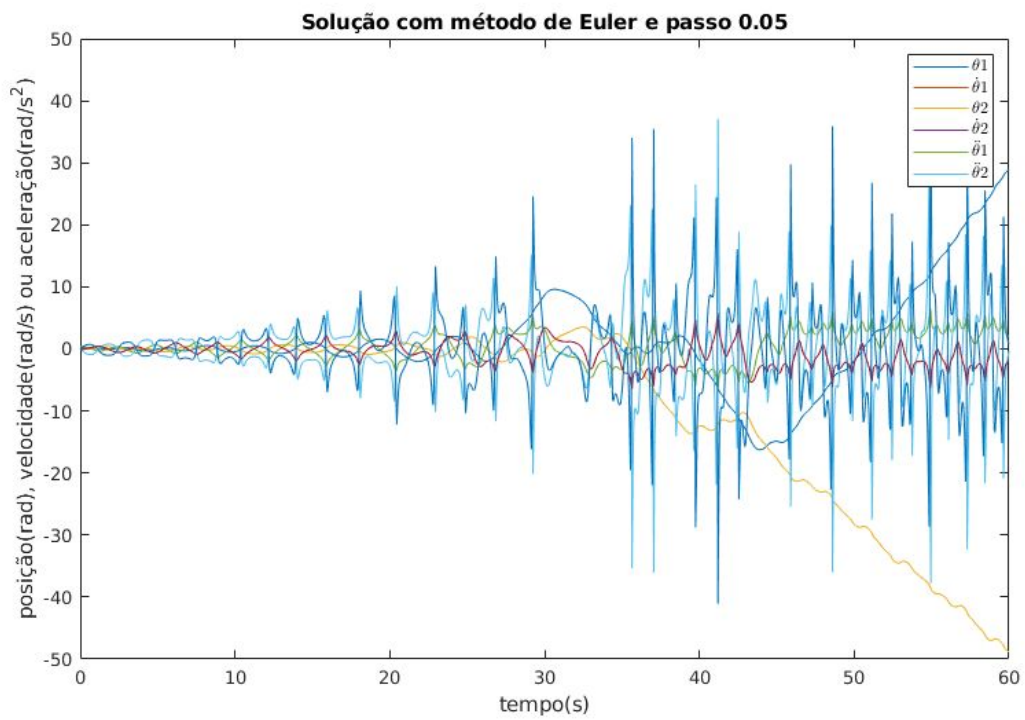
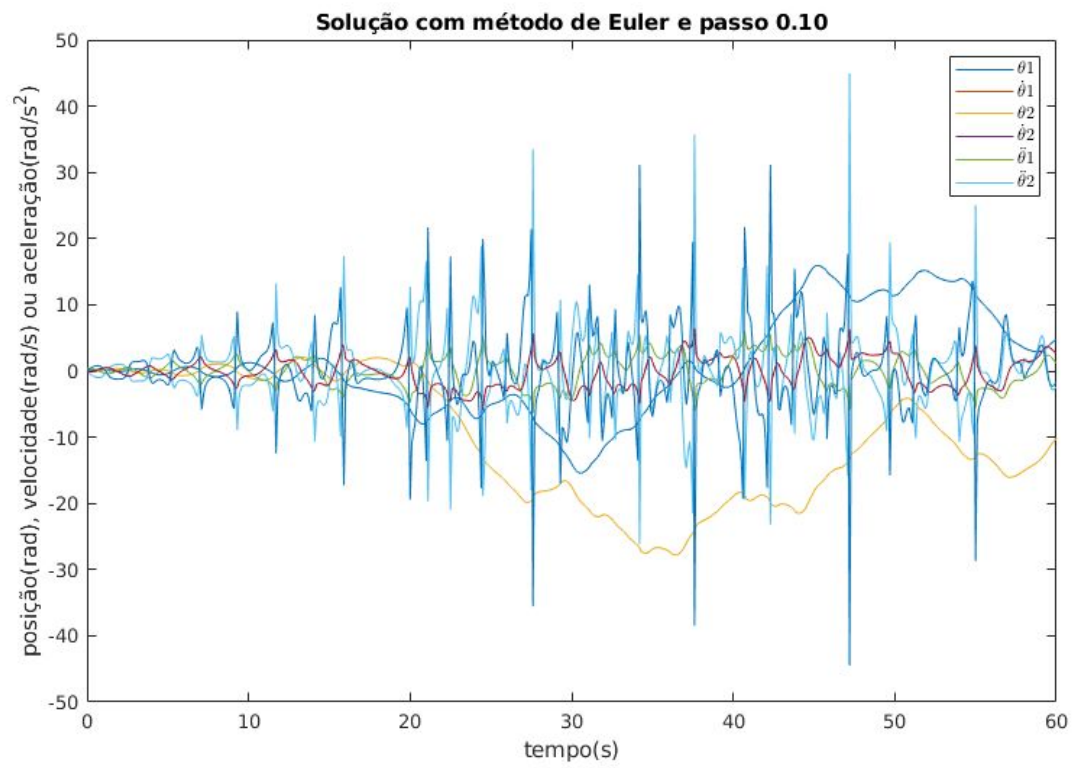
## 2. Questão 1

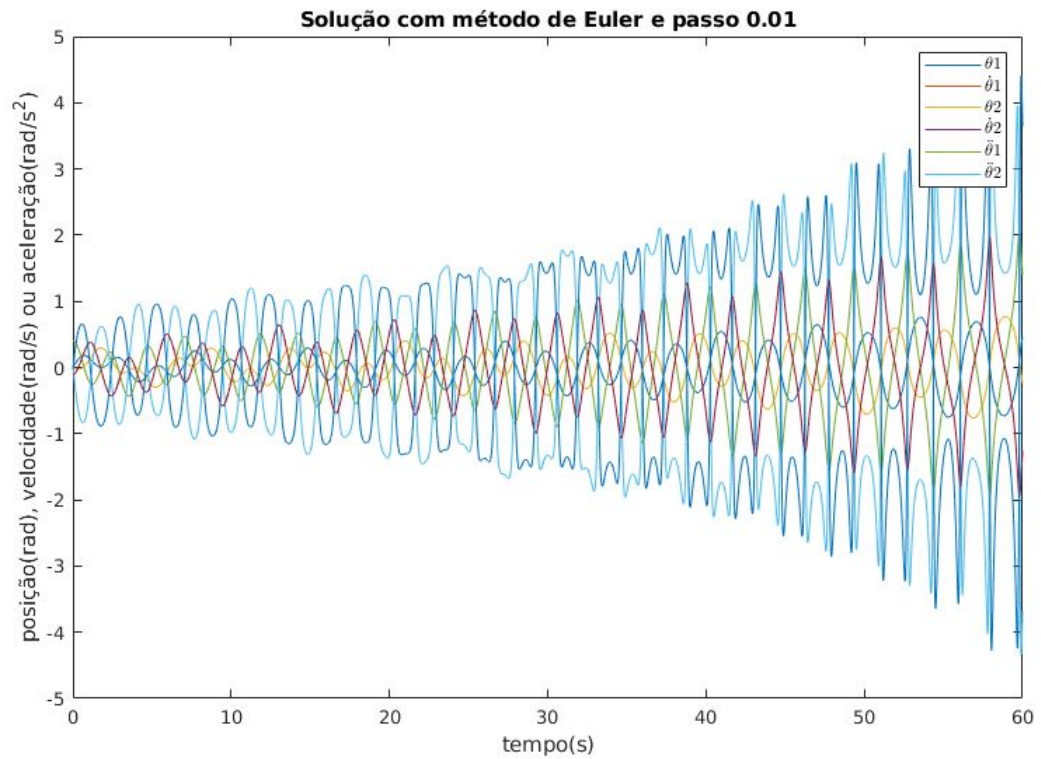
A Questão 1 trata-se da análise da solução dos Métodos Numéricos implementados para o problema do veículo proposto pelo enunciado. A análise é feita na eficiência do método e na influência do passo “h” em cada função.

### 2.1. Item a) - Método de Euler





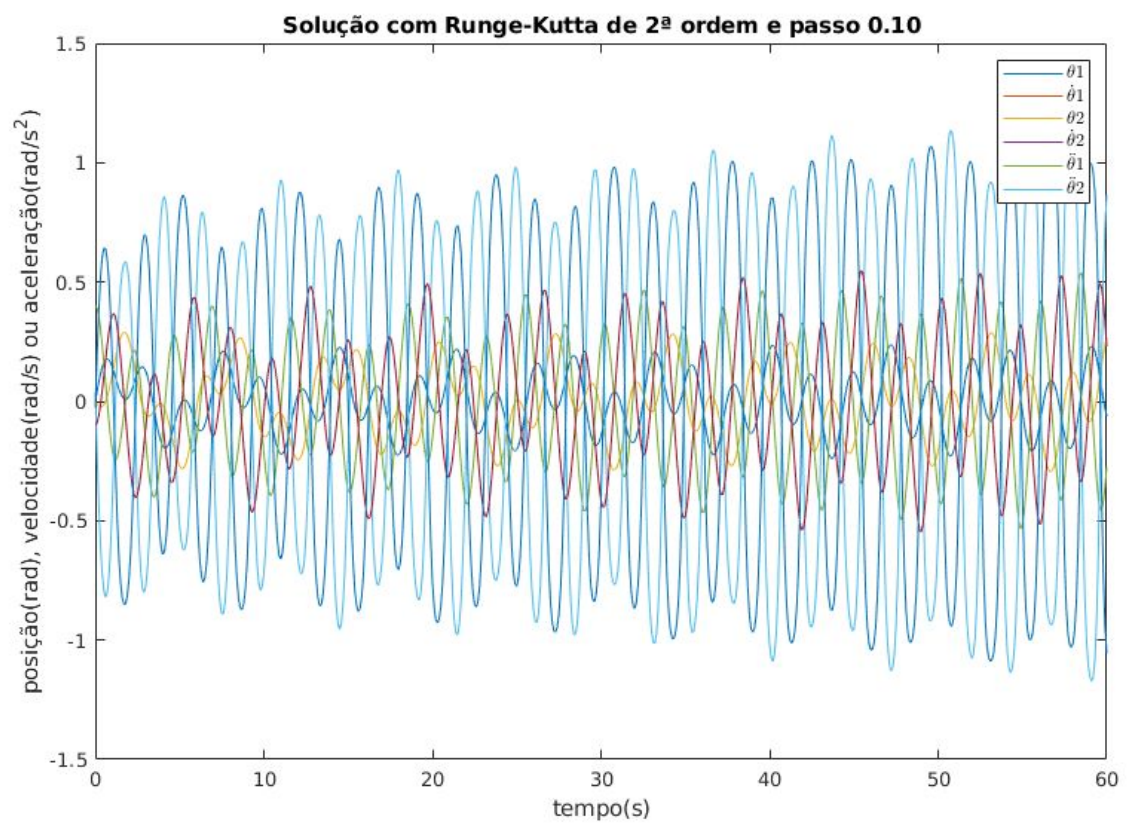
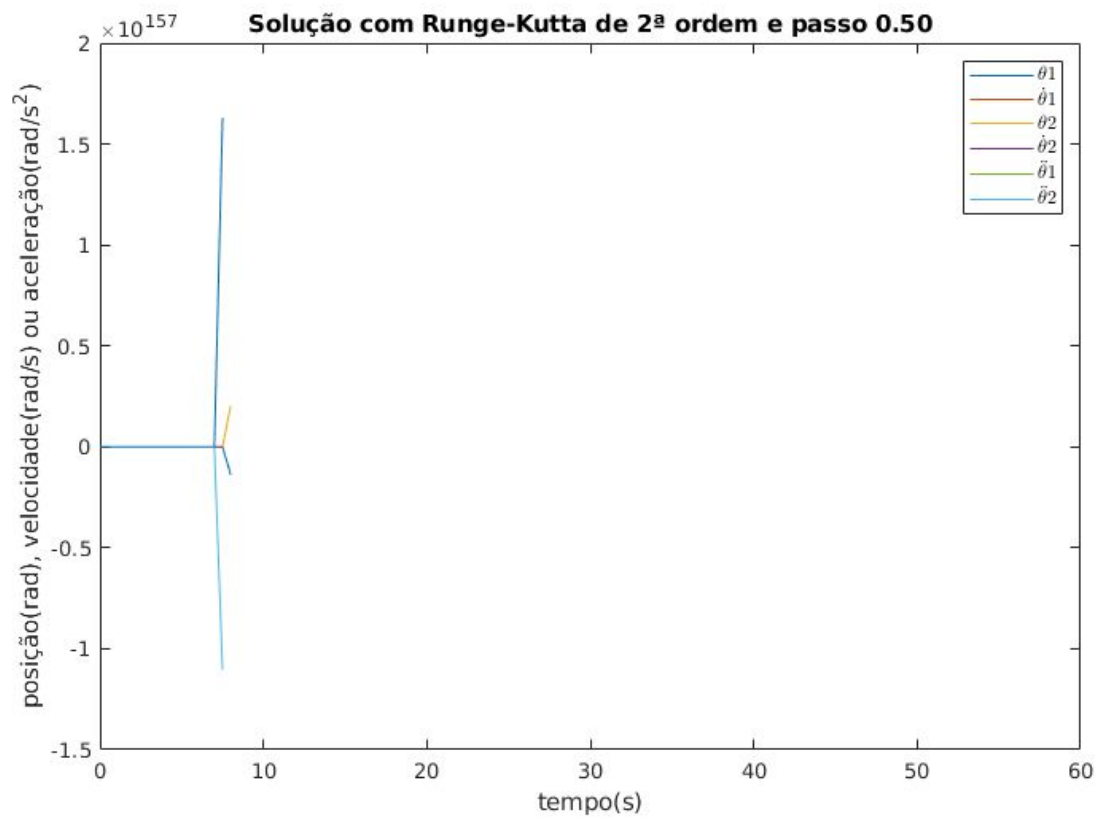


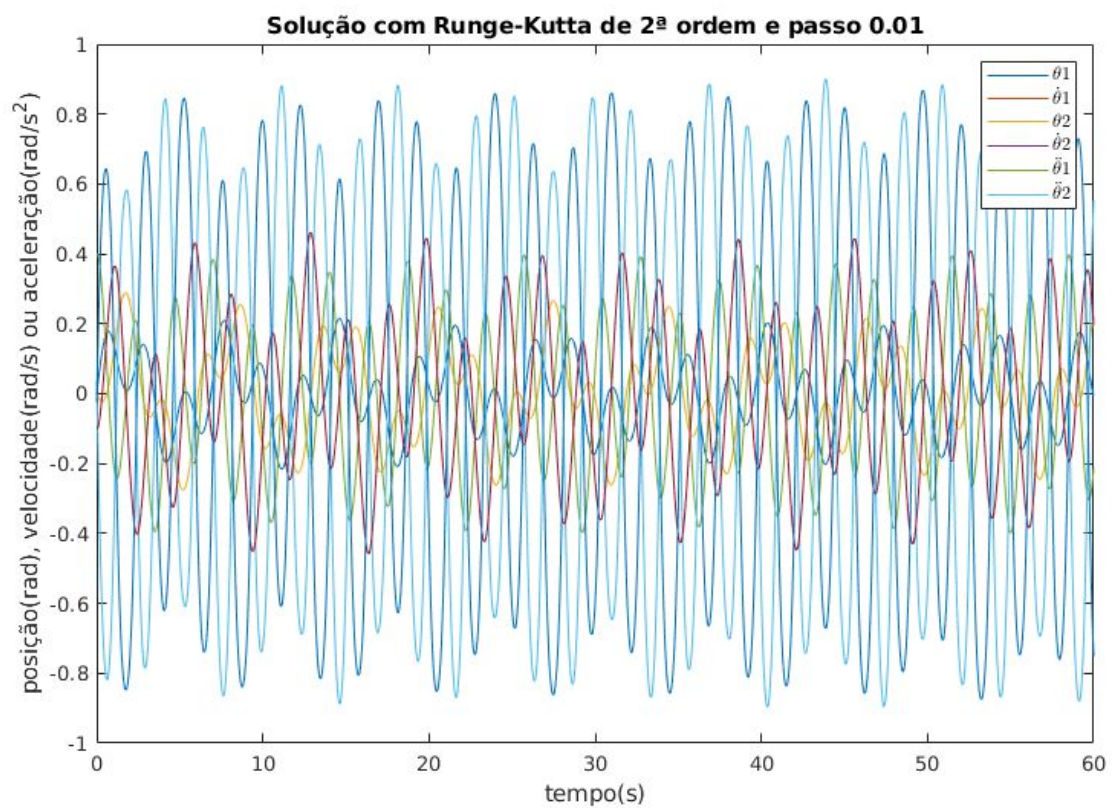
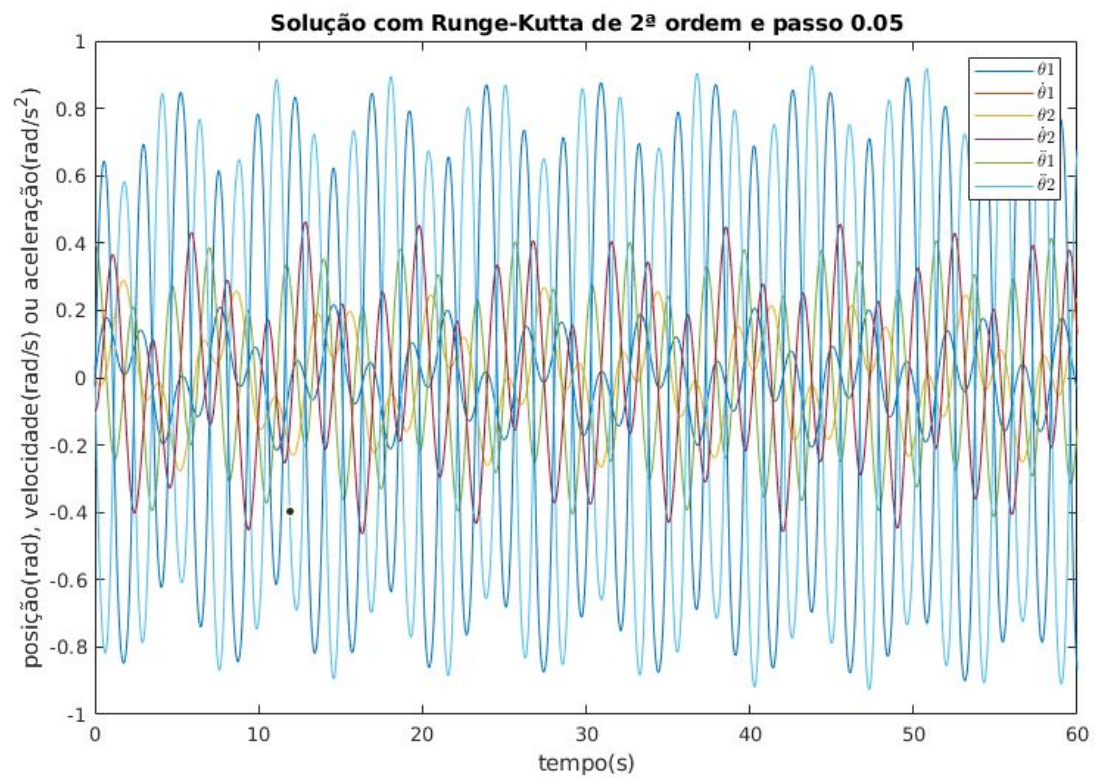


### Discussão

Podemos observar que o método de Euler não converge para nenhum dos passos escolhidos, o que nos mostra que a simplicidade do método se reflete em baixa robustez

## 2.2. Item b) - Método de Runge-Kutta de 2ª ordem



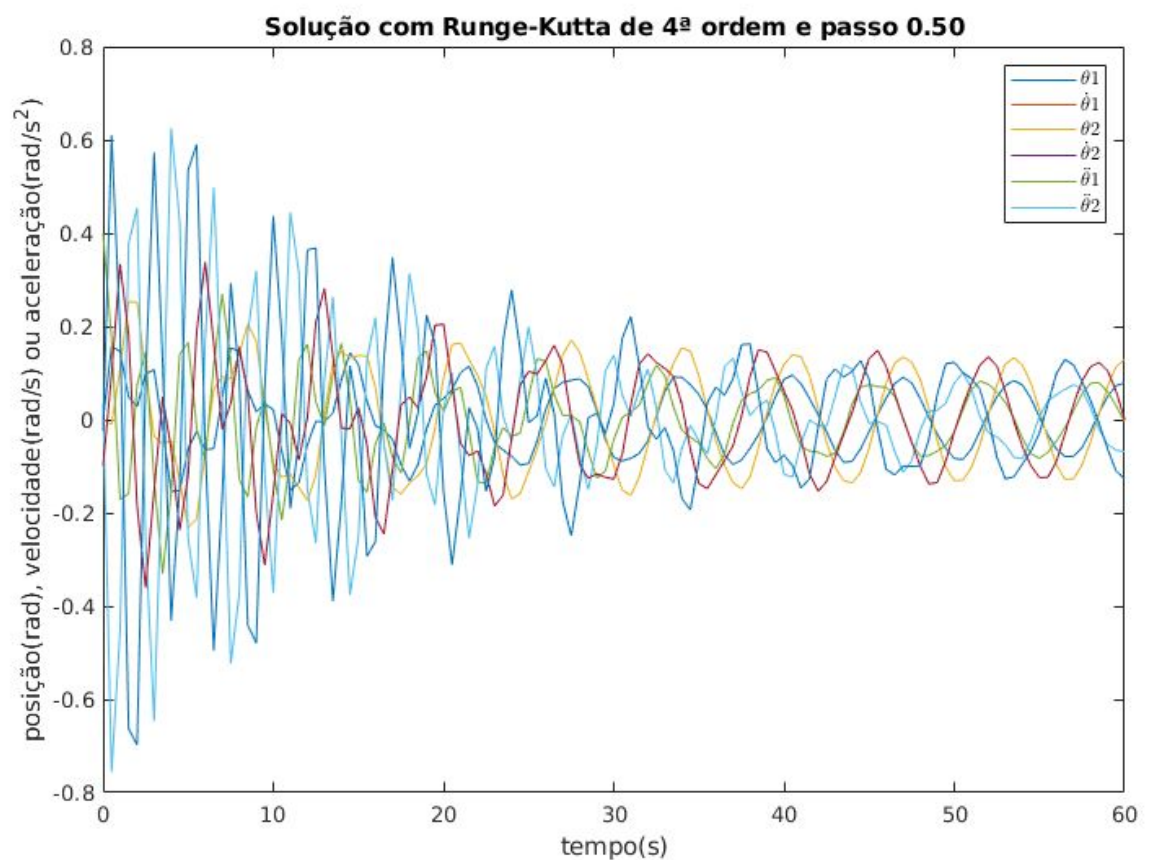


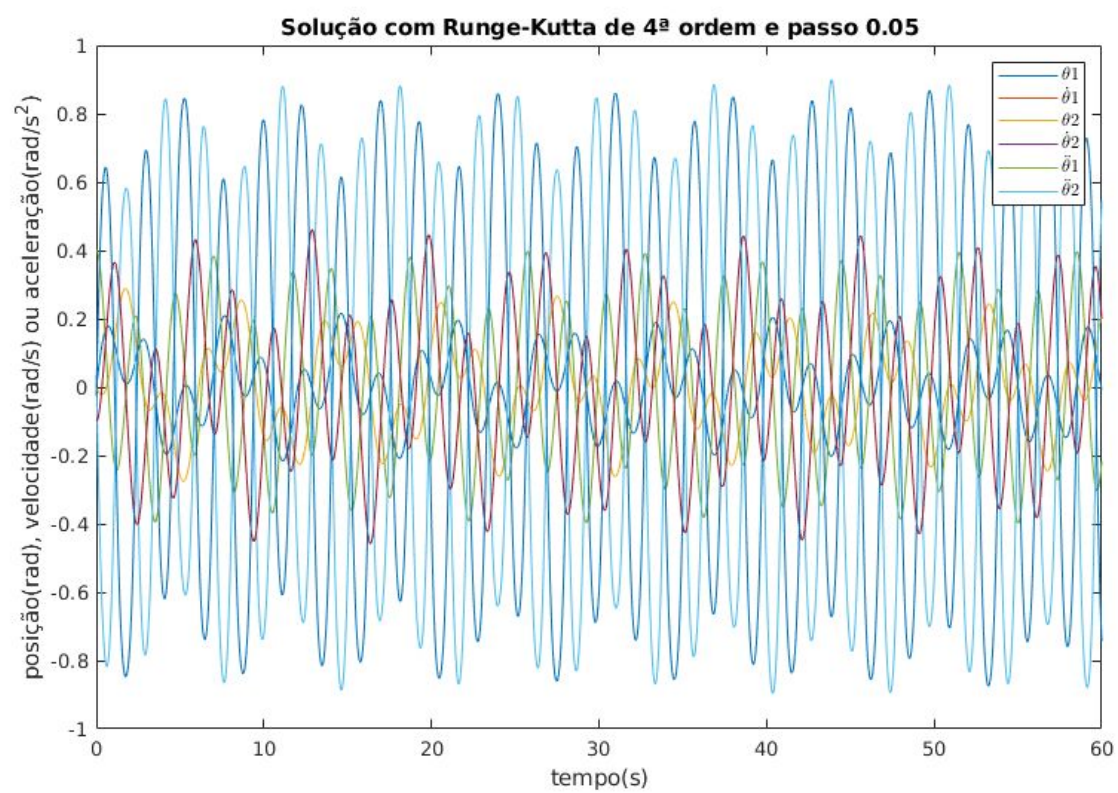
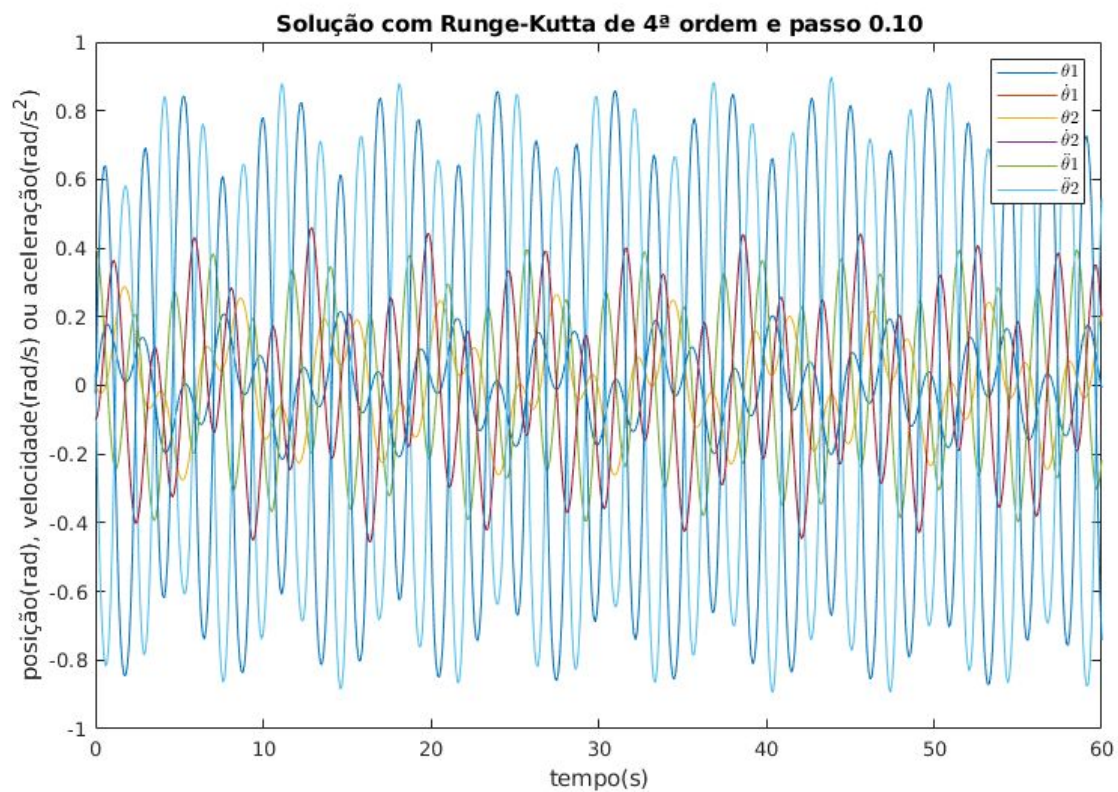


## Discussão

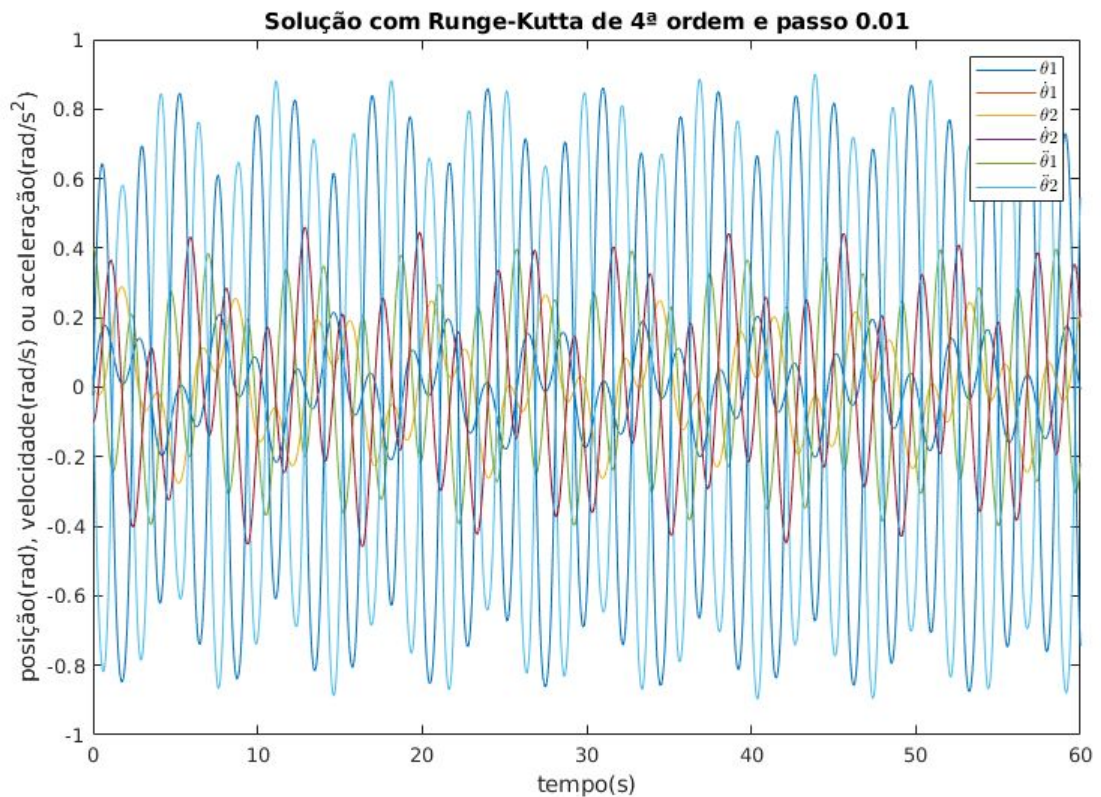
Utilizando passo 0.50, observamos que o método diverge. Com passo 0.10, conseguimos observar a forma da solução, mas também um aumento sensível do erro numérico em instantes futuros da solução. Com passos menores do que 0.05 podemos observar a convergência da solução sem problemas perceptíveis.

### 2.3. Item c) - Método de Runge-Kutta de 4ª ordem









## Discussão

Com passo 0.50, nenhum dos métodos converge para a solução esperada. O método de Runge-Kutta de 4ª ordem é capaz de convergir com passo 0.10, o que não foi observado nos dois métodos anteriores, o que nos mostra como esse método é robusto e eficiente na resolução de equações diferenciais.

## 2.4. Conclusões

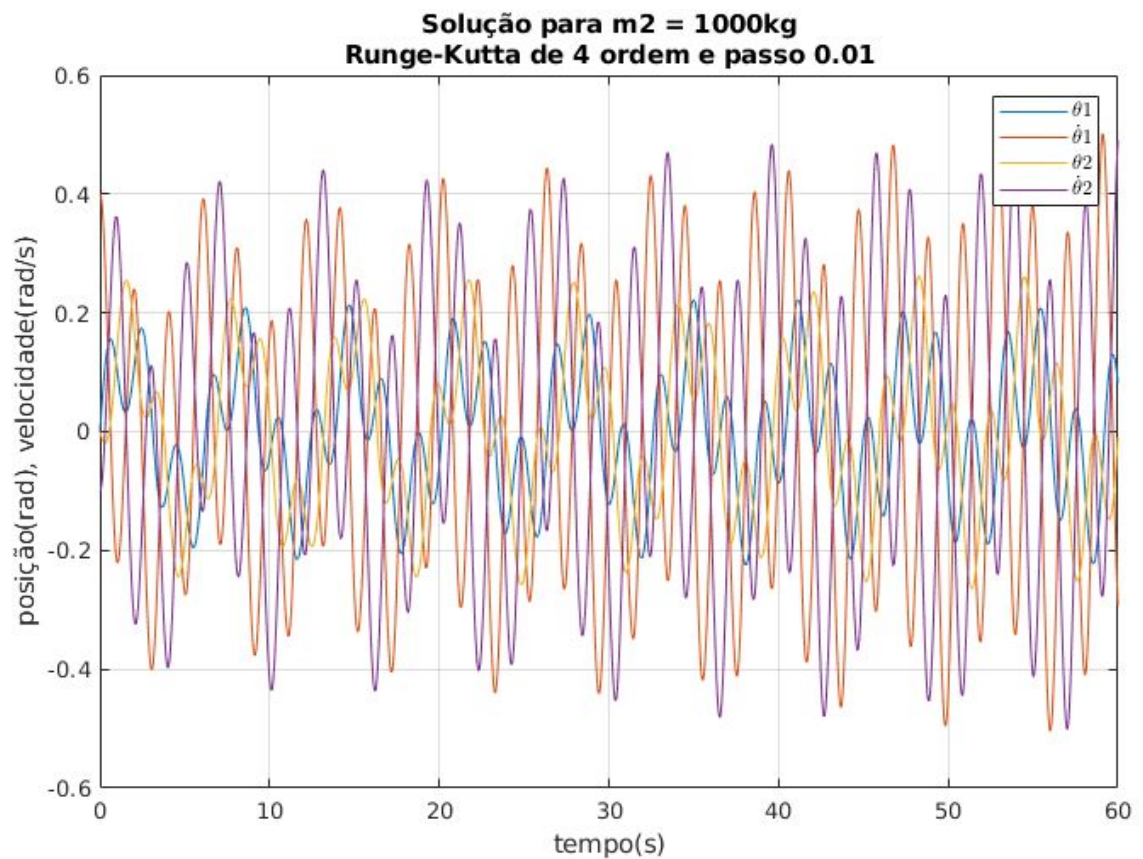
A comparação pode ser feita em duas frentes, o método utilizado e o passo escolhido. Em geral, para o problema em específico, o Método de Euler foi menos eficiente pois sua solução não convergiu para um grande número de passos em comparação aos métodos RK2 e RK4 de Runge-Kutta, que se mostraram métodos mais robustos. O RK4 em especial, por ser mais preciso que o RK2 apresentou melhores resultados.

Analisando o passo, foi possível perceber que quanto mais fino, a precisão do cálculo foi melhor quanto menor o ajuste, entretanto, um menor passo leva ao aumento da carga do cálculo computacional, o que leva a um processamento muito mais lento dependendo do quanto fino fô-lo.

### 3. Questão 2

Para a Questão 2 foi utilizado o método de **Runge-Kutta de 4ª ordem** com passo  **$h = 0.01$** , pois, conforme concluído na Questão 1, apresentou melhor precisão computacional.

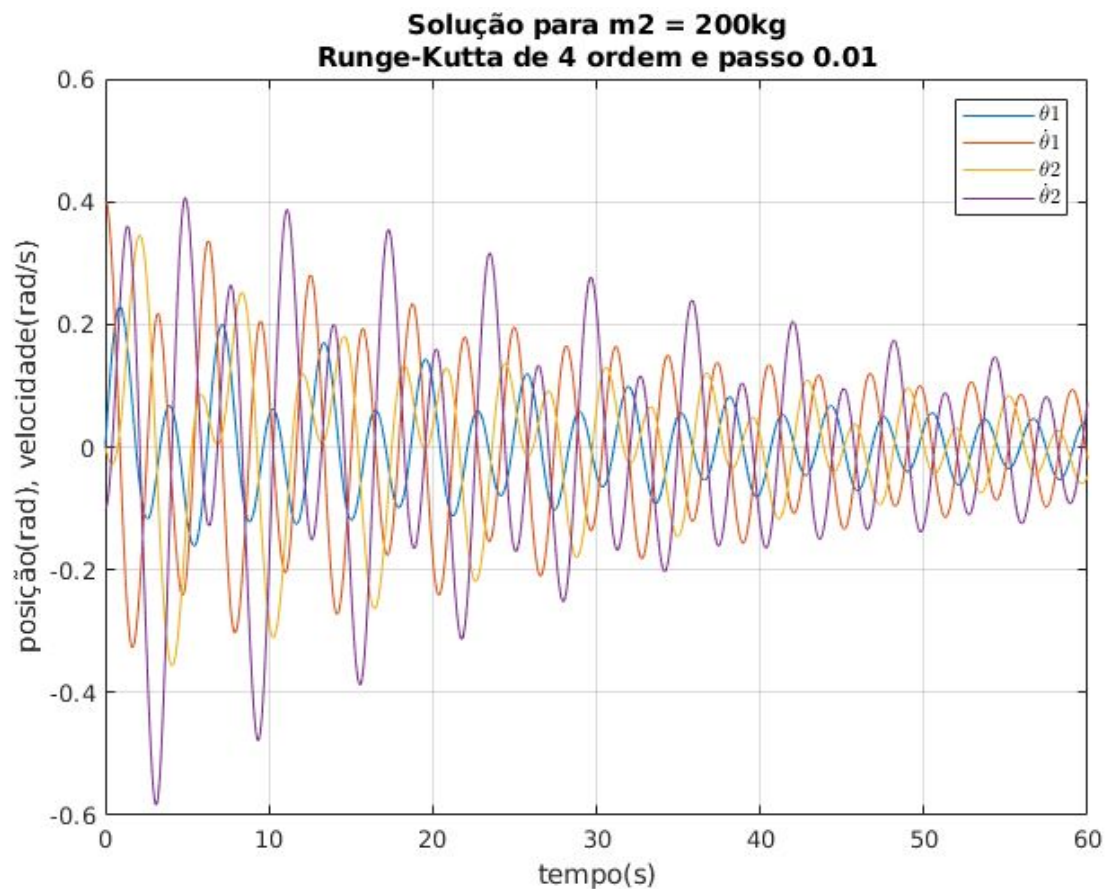
**3.1. Item a) -  $m_2 = 1000 \text{ kg}$**



#### Discussão

Pelo gráfico, é possível perceber que o movimento do veículo para aumento de massa  **$m_2 = 1000 \text{ kg}$**  mantém-se oscilatório, o que indica que o movimento não se estabiliza. A amplitude do movimento também se alterou pouco em relação às condições da Questão 1.

### 3.2. Item b) - $m_2 = 200 \text{ kg}$

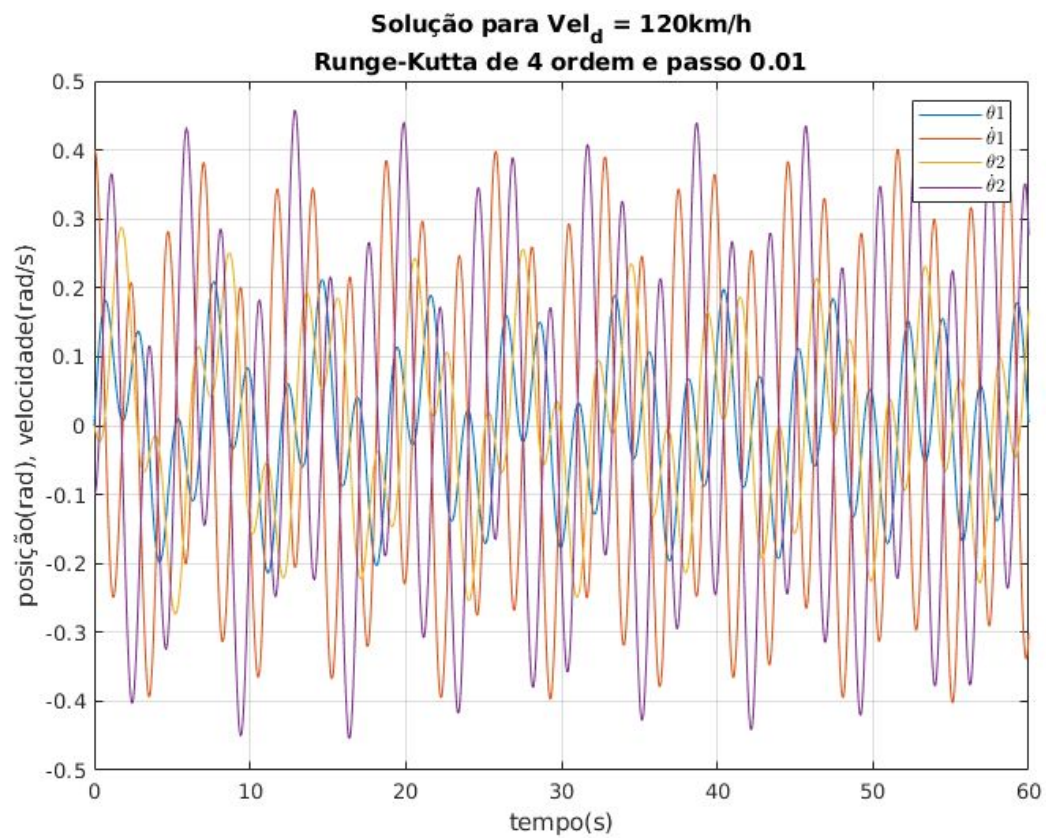


#### Discussão

O carro estabiliza com a diminuição de massa para  $m_2 = 200 \text{ kg}$ . A amplitude do movimento das articulações diminui com o tempo. O que torna o movimento do veículo mais seguro.

Comparando os itens a) e b) podemos perceber a importância em respeitar os limites de segurança de carga no reboque, bem como o impacto na distribuição das massas.

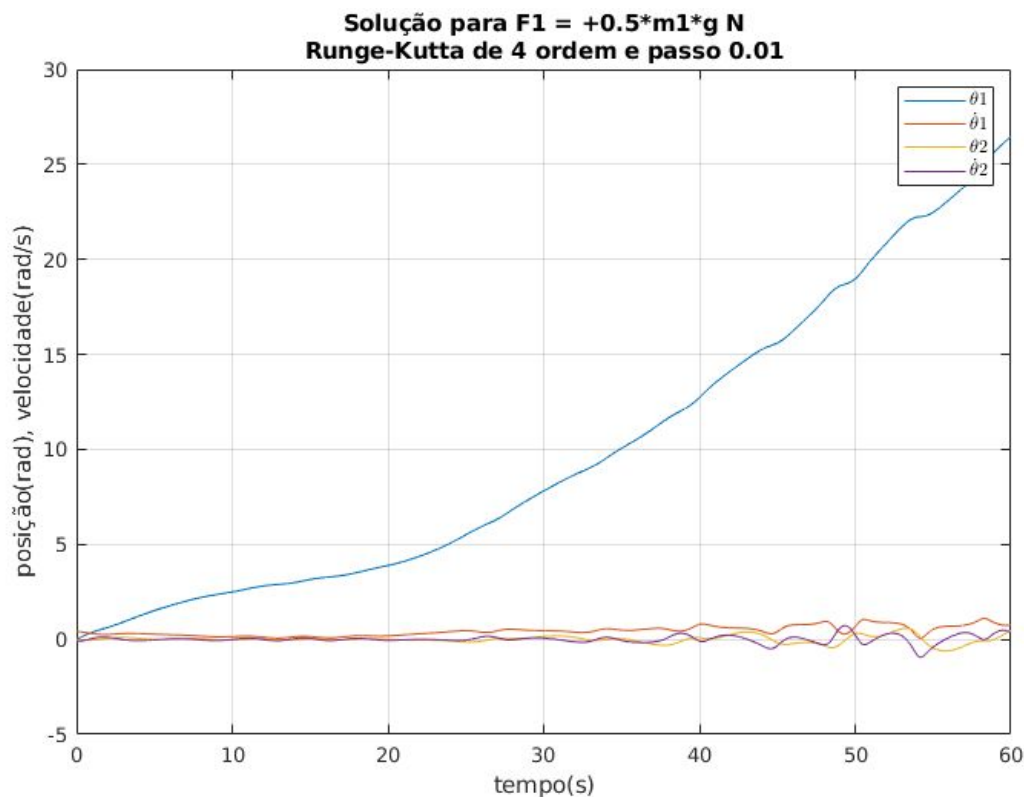
### 3.3. Item c) - $vel = 120 \text{ km/h}$



#### Discussão

Não ocorreu mudança significativa com a mudança de velocidade do veículo para  $vel_d = 120 \text{ km/h}$ . É possível que a velocidade de 120 km/h apresente apenas mudanças muito pequenas.

### 3.4. Item d) - Tração dianteira



### Discussão

Considerando tração positiva na roda  $F_1 = 0.5*m_1*g$ , o movimento do reboque veículo desestabiliza totalmente. Nesse caso, a posição angular crescente do primeiro reboque indica que ele inicia uma rotação de infinitamente. O que é coerente, pois a tração positiva é favorável a desestabilização do veículo e à oscilação deste.

É necessário frisar que nesse caso específico, o modelo não impõe restrição geométrica física para a articulação do reboque, que explica o fato da solução numérica ter fornecido um movimento circular infinito para essa articulação em específico.

### 3.5. Conclusões

Primeiramente, comparando os Métodos de Integração Numérica observou-se a importância de analisar o erro atrelado à cada método pois a solução poderá convergir (ou não convergir) à valores com erros muito elevados. O passo  $h$  de cada laço de iteração do método também influencia na resposta, estando muito atrelado à precisão instantânea em cada ponto da solução. No geral, o Método RK4 por apresentar maior precisão, apresentou resultados mais próximos e foi usado para solução do problema do veículo.

Analisando o veículo, com base nas respostas anteriores é possível perceber que a distribuição de massa do veículo afeta significativamente o movimento das articulações dos reboques, sendo que concentração de massa no extremo traseiro do veículo torna o veículo instável conforme comparação entre os itens a) e b) da Questão2).

No caso específico, a velocidade do veículo não afetou significativamente a oscilação do reboque. É possível que para esse sistema em específico, essa variação ainda não seja o suficiente para fornecer mudanças drásticas, mas o mesmo não pode ser dito em relação à outros sistemas. Parâmetros, principalmente os inerciais como massa, irão definir o quanto a velocidade do veículo afeta o sistema.